

لَهُ الْحَمْدُ
كَلِمَةُ الرَّحْمَنِ

۱۱.۷۴۵

۱۳۸۷/۱/۱۰/۲۵



تهیه کمپلکس‌های فلزی کبالت و نیکل با برخی لیگندهای هتروسیکلی و شیف بازها

پژوهشگر:

امیر علی دلنواز شهر

دانشگاه ارومیه، دانشکده علوم، گروه شیمی

۱۳۸۷

پایان نامه برای دریافت درجه کارشناسی ارشد شیمی معدنی

اساتید راهنما:

دکتر علی حسن زاده

دکتر شهریار آشوری

حق چاپ و تکثیر برای دانشگاه ارومیه محفوظ می‌باشد

۱۳۸۷/۱۲/۲۱

هورد پذیرش هیات محترم

پایان نامه: آن مسکل رفراز کرده تاریخ: ۱۳۹۵/۸/۲ شماره:

داوران با رتبه داوران و نمره ۱۹ قرار گرفت.

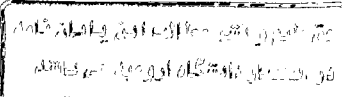
۱- استاد راهنمای رئیس هیئت داوران: دکتر آذری

۲- استاد مشاور: استاد راهنما دکتر علی حسن زاده

۳- داور خارجی: دکتر علی مصطفی

۴- داور داخلی: دکتر علی صفا رادیس

۵- نماینده تحصیلات تکمیلی: دکتر دسیر استاد باشی



تقدیم به

پدر و مادر عزیزم

خواهران مهربانم

خاطره‌ی زندگیم و ایلیای کوچکم

و همه‌ی کسانی که دوستشان دارم.

تقدیر و تشکر

اکنون که به یاری خداوند متعال توفیق به پایان رساندن این پایان نامه را یافته‌ام، شایسته است از تمامی عزیزانی که مرا در این راه یاری نموده‌اند، سپاسگزاری نمایم.

ابتدا از خانواده عزیزم که همواره مشوق و همراه من در این راه دشوار بودند، کمال امتنان را دارم.

از استاد راهنمای محترم و بزرگوارم، دکتر شهریار آشوری و دکتر علی حسن زاده، سپاسگزارم.

از دکتر علیرضا دادرس و دکتر هدایت راحمی و دوستان و همکلاسیهای ارجمند آقایان کرمی‌یار، محمد مهری

افغان، پورستار، معینی، مجرد، رشیدی، مبهوتی، نیکو، ستمدیده، قویدل، ارکاک، رضایپور، پناهی،

خلیلی و..... که مرا در روزهای سخت یاری کردند، کمال تشکر و سپاس را دارم.

چکیده

ابتدا پیش ماده بی استیل برای تهیه دی بروم بی استیل بروم شد سپس با ترکیب دی بروم بی استیل و تیواوره لیگاند دی آمینو بی تیازول تهیه شد و این لیگاند برای تهیه کمپلکس‌های دی آمینو بی تیازول کبالت (II) کلرید، و دی آمینو بی تیازول کبالت (II) نیترات و دی آمینو بی تیازول نیکل (II) نیترات و کمپلکس دی آمینو بی تیازول نیکل (II) سولفات استفاده شد. ستز و شناسایی این لیگاند و کمپلکس‌ها بوسیله تکنیک‌های اسپکتروسکوپی UV-Vis و FT-IR و ^{13}C -NMR و ^1H -NMR آندهیدهای (سالسیل آلدید و ۲-کلرو کینولین-۳-کاربآلدهید و ۴-دی متیل آمینو بنزالدهید) با آمین‌های نوع اول (پارا آمینو آنیلین و ۳-آمینوفنول) تهیه شد و سپس لیگاند شیف باز 2,2'-(1, 4-Phenylenebis(azan-1-yl-1-ylidene))bis(methan-1-yl-1-ylidene)diphenol برای تهیه کمپلکس‌های آن با نمک نیکل (II) نیترات و کبالت (II) نیترات واکنش داده شد و ستز و شناسایی لیگاندها و کمپلکس‌ها بوسیله تکنیک‌های اسپکتروسکوپی ^1H -NMR و ^{13}C -NMR و FT-IR و UV-Vis تایید گردید.

فهرست مطالع

صفحه

عنوان

۱	فصل ۱ - مقدمه
۳	۱-۱) شیف بازها
۴	۱-۲) تاریخچه و کشف
۵	۱-۳) ستر شیف بازها
۷	۱-۴) کاربردها و روش عمومی ستر کمپلکس‌های شیف باز
۷	۱-۴-۱) کاربرد شیف بازها به عنوان کاتالیست
۸	۱-۴-۲) کاربرد شیف بازها به عنوان بازدارنده‌های خوردگی
۹	۱-۴-۳) کاربرد شیف باز در پزشکی و کشاورزی
۱۲	۱-۴-۴) استفاده از شیف بازها به عنوان شناساگر یون‌های فلزی
۱۳	۱-۵) بی‌تیازول‌ها
۱۹	۶-۱) نیکل
۱۹	۱-۶-۱) کاربردهای نیکل
۲۰	۷-۱) کبالت
۲۰	۱-۷-۱) کاربردهای کبالت
۲۱	فصل ۲ - بخش تجربی
۲۱	۱-۲) مواد مصرفی
۲۱	۲-۲) حلولها
۲۱	۳-۲) دستگاهها
۲۲	۴-۲) روش تهیه دی بروم‌بی استیل
۲۲	۵-۲) روش تهیه دی آمینو بی تیازول
۲۳	۲,2'-(1,4-phenylenebis(azan-1-yl-1-ylidene))bis(methan-1-yl-1-ylidene)diphenol
	۶-۲) تهیه لیگاند شیف باز:
۲۳	<i>N</i> ¹ -((2-chloroquinolin-3-yl)methylene)benzene-1,4-diamine
	۷-۲) تهیه لیگاند شیف باز
۲۳	<i>N</i> ¹ , <i>N</i> ⁴ -bis(4-(dimethylamino)benzylidene)benzene-1,4-diamine
	۸-۲) تهیه لیگاند شیف باز
۲۴	3-(4-(dimethylamino)benzylideneamino)phenol
	۹-۲) تهیه لیگاند شیف باز
۲۴	۱۰-۲) تهیه کمپلکس دی آمینو بی تیازول نیترات کبالت(II)
۲۴	۱۱-۲) تهیه کمپلکس دی آمینو بی تیازول کلرید کبالت(II)
۲۵	۱۲-۲) تهیه کمپلکس دی آمینو بی تیازول نیترات نیکل(II)
۲۵	۱۳-۲) تهیه کمپلکس دی آمینو بی تیازول سولفات نیکل(II)
۲۵	۱۴-۲) تهیه کمپلکس شیف باز نیکل(II) نیترات

۲۶	۱۵-۲) تهیه کمپلکس شیف باز کبالت (II) نیترات
۲۷	۱۶-۲) تعیین تعداد لیگاند در کمپلکس‌ها به روش جاب
۲۸	۱-۱۶-۲) روش کار
۲۹	۲-۱۶-۲) مراحل محاسباتی روش جاب
۳۰	۳-۱۶-۲) کمپلکس دی آمینو بی تیازول کبالت(II)نیترات
۳۱	۴-۱۶-۲) کمپلکس دی آمینو بی تیازول کبالت(II) کلرید
۳۲	۵-۱۶-۲) کمپلکس دی آمینو بی تیازول نیکل(II) سولفات
۳۳	۱۷-۲) طیف ماورای بنتش - مرئی
۳۴	۱۸-۲) تفسیر مشاهدات UV
۳۵	۱-۱۸-۲) محاسبات طیف ماورای بنتش-مرئی

۳۶	فصل ۳- بخش نتایج و بحث
۳۷	۱-۳) بررسی داده‌های طیفی بی استیل
۳۸	۲-۳) تفسیر داده‌های طیفی بی استیل (۲، ۳- بوتان دیون)
۳۹	۳-۳) بررسی داده‌های طیفی دی بروموم بی استیل
۴۰	۴-۳) تفسیر داده‌های طیفی دی بروموم بی استیل
۴۱	۵-۳) بررسی داده‌های طیفی لیگاند DABTZ
۴۲	۶-۳) محاسبات طیف ماورای بنتش - مرئی لیگاند دی آمینو بی تیازول
۴۳	۷-۳) تفسیر داده‌های طیفی لیگاند DABTZ
۴۴	۸-۳) بررسی داده‌های طیفی کمپلکس‌های ستر شده با لیگاند دی آمینو بی تیازول
۴۵	۱-۸-۳) کمپلکس دی آمینو بی تیازول کبالت(II) کلرید
۴۶	۲-۸-۳) تفسیر داده‌های کمپلکس دی آمینو بی تیازول کبالت(II) کلرید
۴۷	۳-۸-۳) کمپلکس دی آمینو بی تیازول کبالت(II) نیترات
۴۸	۴-۸-۳) تفسیر داده‌های کمپلکس دی آمینو بی تیازول کبالت(II) نیترات
۴۹	۵-۸-۳) کمپلکس دی آمینو بی تیازول نیکل(II) نیترات
۵۰	۶-۸-۳) تفسیر داده‌های کمپلکس دی آمینو بی تیازول نیکل(II) نیترات
۵۱	۷-۸-۳) تفسیر داده‌های کمپلکس دی آمینو بی تیازول نیکل(II) سولفات
۵۲	۸-۸-۳) تفسیر داده‌های کمپلکس دی آمینو بی تیازول نیکل(II) سولفات
۵۳	۹-۳) بررسی داده‌های طیفی لیگاند شیف باز

2,2'-(1,4-phenylenebis(azan-1-yl-1-ylidene))bis(methan-1-yl-1-ylidene)diphenol باز
۱۰-۳) محاسبات طیف ماورای بنتش - مرئی لیگاند شیف باز

۶۷	2,2'-(1,4-phenylenebis(azan-1-yl-1-ylidene))bis(methan-1-yl-1-ylidene)diphenol
۶۸	۱۱-۳) تفسیر داده‌های طیفی لیگاند شیف باز
۶۹	۱۲-۳) بررسی داده‌های طیفی لیگاند شیف باز
/	N ¹ ,N ⁴ -bis(4-(dimethylamino)benzylidene)benzene-1,4-diamine باز
۷۳	۱۳-۳) تفسیر داده‌های طیفی لیگاند شیف باز
۷۵	۱۴-۳) بررسی داده‌های طیفی لیگاند شیف باز

۷۵	۱۴-۳) بررسی داده‌های طیفی لیگاند شیف باز	
۷۹	۱۵-۳) تفسیر داده‌های طیفی لیگاند شیف باز	
۸۱	۱۶-۳) بررسی داده‌های طیفی لیگاند شیف باز:	
۸۴	۱۷-۳) تفسیر داده‌های طیفی لیگاند شیف باز	
۸۵	۱۸-۳) بررسی داده‌های طیفی کمپلکس‌های ستر شده با لیگاند شیف باز :	
۸۰	2,2'-(1,4-phenylenebis(azan-1-yl-1-ylidene))bis(methan-1-yl-1-ylidene)diphenol	
۸۸	۱-۱۸-۳) کمپلکس شیف باز کبالت(II) نیترات	
۸۹	۲-۱۸-۳) تفسیر داده‌های طیفی کمپلکس شیف باز کبالت(II) نیترات	
۹۱	۳-۱۸-۳) کمپلکس شیف باز نیکل(II) نیترات	
۹۲-۹۴	۴-۱۸-۳) تفسیر داده‌های طیفی کمپلکس شیف باز کبالت(II) نیترات	
	مراجع	

فهرست اشکال و جداول

	عنوان	صفحه
۲	شکل-۱-۱) نمونه‌هایی از کمپلکس‌های خطی گروه ۱۱ و ۱۲ عناصر واسطه	
۲	شکل-۱-۲) نمونه‌هایی از کمپلکس‌های تتراهرال گروه‌های مختلف عناصر واسطه	
۳	شکل-۱-۳) نمونه‌هایی از کمپلکس‌های مریع مسطح گروه‌های ۹ و ۱۰ و ۱۱ عناصر واسطه	
۳	شکل-۱-۴) انحراف در کمپلکس‌های هشت وجهی	
۳	شکل-۱-۵) دو ساختار مهم کمپلکس‌های پنج کثوردینه	
۶	شکل-۱-۶) مکانیسم تشکیل ایمین	
۶	شکل-۱-۷) حمله نوکلوفیل به گروه کربونیل	
۹	شکل-۱-۸) ساختار شیمیایی شیف بازهایی که دارای خاصیت بازدارنده خورندگی هستند	
۱۲	شکل-۱-۹) ستر کمپلکس‌های Zn(II) با شیف بازهای آمینو اسیدی	
۱۴	شکل-۱-۱۰) یکی از ترکیبات پلیمری ساخته شده بر اساس حلقه بی‌تیازولی	
۱۵	شکل-۱-۱۱) SDP-Prussian blue (۱۱-۱)	
۱۶	شکل-۱-۱۲) پلیمر PACPDMDABT	
۱۶	شکل-۱-۱۳) کمپلکس Diaqua(۲,۴'-diamino-۴,۴'-bi-۱,۳-thiazole)(malonato)nickel(II)	
۱۷	شکل-۱-۱۴) کمپلکس (۲,۴'-Diamino-۴,۴'-bi-۱,۳-thiazole-κ ² N,N')bis(glycinato- κ ² N,O)nickel(II) dihydrate	

۱۷	شکل ۱۵-۱) کمپلکس $\text{Cu}^{+2}, \text{Ni}^{+2}$ -di (tert-butyl)- α -ethynyl-۲, ۲'- bithiazole metil mercurate
۱۷	شکل ۱۶-۱) کمپلکس پلیمری PPOBTz-M ⁺ , M= Cu,Ni
۱۷	شکل ۱۷-۱) کمپلکس PMTOA-Fe ³⁺
۱۹	شکل ۱۸-۱) کمپلکس پلیمری SDP-Fe ³⁺
۳۰	جدول ۲-۱) تعیین مقادیر حجم های موردنیاز از محلول لیگاند و محلول فلز برای تعیین نسبت مولی لیگاند به فلز در کمپلکس دی آمینو بی تیازول کبالت(II) نیترات
۳۱	جدول ۲-۲) تعیین مقادیر حجم های موردنیاز از محلول لیگاند و محلول فلز برای تعیین نسبت مولی لیگاند به فلز در کمپلکس دی آمینو بی تیازول کبالت(II) کلرید
۳۲	جدول ۲-۳) تعیین مقادیر حجم های موردنیاز از محلول لیگاند و محلول فلز برای تعیین نسبت مولی لیگاند به فلز در کمپلکس دی آمینو بی تیازول نیکل(II) سولفات
۳۴	شکل ۱) طیف FT-IR بی استیل در قرص NaCl
۳۵	شکل ۲) طیف $^1\text{H-NMR}$ بی استیل در حلال CDCl_3 در دمای 25°C
۳۶	شکل ۳) طیف FT-IR دی بروموم بی استیل
۳۶	جدول ۳-۱) ارتعاشات مهم دی بروموم بی استیل
۳۷	شکل ۳-۲) طیف $^1\text{H-NMR}$ دی بروموم بی استیل
۳۷	جدول ۳-۳) جدول داده های $^1\text{H-NMR}$ دی بروموم بی استیل
۳۸	شکل ۵) طیف FT-IR لیگاند DABTZ
۳۸	جدول ۳-۴) ارتعاشات مهم لیگاند دی آمینو بی تیازول
۳۹	شکل ۶-۳) طیف $^1\text{H-NMR}$ DABTZ در حلال DMSO-d_6 و در دمای 25°C
۳۹	جدول ۳-۴) جدول داده های $^1\text{H-NMR}$ DABTZ
۴۰	شکل ۷-۳) طیف $^{13}\text{C-NMR}$ DABTZ در حلال DMSO-d_6 و در دمای 25°C
۴۰	جدول ۳-۵) جدول داده های $^{13}\text{C-NMR}$ DABTZ
۴۱	شکل ۸-۳) طیف UV-Visible لیگاند دی آمینو بی تیازول
۴۱	جدول ۳-۶) جدول داده های UV-Visible لیگاند دی آمینو بی تیازول
۴۴	شکل ۹-۳) طیف FT-IR کمپلکس دی آمینو بی تیازول کبالت(II) کلرید
۴۵	شکل ۱۰-۳) طیف FT-IR کمپلکس دی آمینو بی تیازول کبالت(II) کلرید مقایسه شده با طیف دی آمینو بی تیازول
۴۵	جدول ۳-۷) ارتعاشات مهم کمپلکس دی آمینو بی تیازول کبالت(II) کلرید
۴۶	جدول ۳-۸) تعیین نسبت مولی لیگاند-فلز در کمپلکس دی آمینو بی تیازول کبالت(II) کلرید توسعه روش Job
۴۶	شکل ۱۱-۳) نمودار نسبت مولی لیگاند-فلز در کمپلکس دی آمینو بی تیازول کبالت(II) کلرید توسعه روش Job
۴۷	شکل ۱۲-۳) طیف UV-Visible نمک کبالت(II) کلرید
۴۷	شکل ۱۳-۳) طیف UV-Visible کمپلکس دی آمینو بی تیازول کبالت(II) کلرید
۴۷	شکل ۱۴-۳) مقایسه طیف های نمک، کمپلکس و لیگاند با یکدیگر خطوط B مربوط به کمپلکس دی آمینو بی تیازول کبالت(II) کلرید
۴۸	جدول ۹-۳) جدول داده های UV-Visible کمپلکس دی آمینو بی تیازول کبالت(II) کلرید
۴۹	شکل ۱۵-۳) طیف FT-IR کمپلکس دی آمینو بی تیازول کبالت(II) نیترات
۵۰	شکل ۱۶-۳) طیف FT-IR کمپلکس دی آمینو بی تیازول کبالت(II) نیترات مقایسه شده با طیف دی آمینو بی تیازول
۵۰	جدول ۱۰-۳) ارتعاشات مهم کمپلکس دی آمینو بی تیازول کبالت(II) نیترات

۵۱	جدول ۱۱-۳) تعیین نسبت مولی لیگاند- فلز در کمپلکس دی آمینو بی تیازول کبالت(II) نیترات توسط روش Job شکل ۱۷-۳) نمودار نسبت مولی لیگاند- فلز در کمپلکس دی آمینو بی تیازول کبالت (II) نیترات توسط روش Job
۵۲	شکل ۱۸-۳) طیف UV-Visible نمک کبالت (II) نیترات
۵۲	شکل ۱۹-۳) طیف UV-Visible کمپلکس دی آمینو بی تیازول کبالت (II) نیترات
۵۲	شکل ۲۰-۳) مقایسه طیف های UV-Visible نمک، کمپلکس و لیگاند با یکدیگر خطوط B مربوط به کمپلکس دی آمینو بی تیازول کبالت (II) نیترات
۵۳	جدول داده های UV-Visible کمپلکس دی آمینو بی تیازول کبالت(II) نیترات
۵۴	شکل ۲۱-۳) طیف FT-IR کمپلکس دی آمینو بی تیازول نیکل (II) نیترات
۵۵	شکل ۲۲-۳) طیف FT-IR کمپلکس دی آمینو بی تیازول نیکل (II) نیترات مقایسه شده با طیف دی آمینو بی تیازول
۵۵	جدول ۱۳-۳) ارتعاشات مهم کمپلکس دی آمینو بی تیازول نیکل (II) نیترات
۵۶	شکل ۲۳-۳) طیف UV-Visible نمک نیکل (II) نیترات
۵۶	شکل ۲۴-۳) طیف UV-Visible کمپلکس دی آمینو بی تیازول نیکل (II) نیترات
۵۶	شکل ۲۵-۳) مقایسه طیف های UV-Visible نمک، کمپلکس و لیگاند با یکدیگر خطوط B مربوط به کمپلکس دی آمینو بی تیازول نیکل (II) نیترات
۵۷	جدول داده های UV-Visible کمپلکس دی آمینو بی تیازول نیکل(II) نیترات
۵۸	شکل ۲۶-۳) طیف FT-IR کمپلکس دی آمینو بی تیازول نیکل (II) سولفات
۵۸	شکل ۲۷-۳) طیف FT-IR کمپلکس دی آمینو بی تیازول نیکل (II) سولفات مقایسه شده با طیف دی آمینو بی تیازول
۵۹	جدول ۱۵-۳) ارتعاشات مهم کمپلکس دی آمینو بی تیازول نیکل (II) سولفات
۵۹	جدول ۱۶-۳) تعیین نسبت مولی لیگاند- فلز در کمپلکس دی آمینو بی تیازول نیکل (II) سولفات توسط روش Job
۶۰	شکل ۲۸-۳) نمودار نسبت مولی لیگاند- فلز در کمپلکس دی آمینو بی تیازول نیکل (II) سولفات توسط روش Job
۶۰	شکل ۲۹-۳) طیف UV-Visible نمک نیکل (II) سولفات
۶۰	شکل ۳۰-۳) طیف UV-Visible کمپلکس دی آمینو بی تیازول نیکل (II) سولفات
۶۱	شکل ۳۱-۳) مقایسه طیف های UV-Visible نمک، کمپلکس و لیگاند با یکدیگر خطوط B مربوط به کمپلکس دی آمینو بی تیازول نیکل (II) سولفات
۶۱	جدول ۱۷-۳) جدول داده های UV-Visible کمپلکس دی آمینو بی تیازول نیکل(II) سولفات
۶۲	شکل ۳۲-۳) طیف FT-IR لیگاند شیف باز
۶۲	بار 2,2'-(1,4-phenylenebis(azan-1-yl-1-ylidene))bis(methan-1-yl-1-ylidene)diphenol
۶۳	جدول ۱۸-۳) ارتعاشات مهم لیگاند شیف باز
۶۴	شکل ۳۳-۳) طیف ¹ H-NMR لیگاند شیف باز
۶۴	2,2'-(1,4-phenylenebis(azan-1-yl-1-ylidene))bis(methan-1-yl-1-ylidene)diphenol
۶۴	جدول ۱۹-۳) جدول داده های ¹ H-NMR لیگاند شیف باز
۶۵	شکل ۳۴-۳) طیف ¹ H-NMR لیگاند شیف باز در حلal ¹ CDCl ₃ -d ₆ و حذف شدن پیک O-H با افزودن D ₂ O
۶۵	شکل ۳۵-۳) طیف ¹³ C-NMR لیگاند شیف باز
۶۶	جدول ۲۰-۳) جدول داده های ¹³ C-NMR لیگاند شیف باز
۶۶	جدول ۲۱-۳) آنالیز عنصری لیگاند شیف باز بدست آمده با دستگاه VarioEL III CHNS
۶۶	جدول ۲۲-۳) آنالیز عنصری لیگاند شیف باز بدست آمده با نرم افزار Chem Office ۲۰۰۵

۶۶	شکل ۳ (۳۶-۳) طیف UV-Visible لیگاند شیف باز
۶۷	جدول داده های UV-Visible لیگاند شیف باز
۷۰	شکل ۴ (۳۷-۳) طیف FT-IR لیگاند شیف باز :
	<i>N¹,N⁴-bis(4-(dimethylamino)benzylidene)benzene-1,4-diamine</i>
۷۰	جدول ۲ (۲۴-۳) ارتعاشات مهم لیگاند شیف باز
۷۱	شکل ۵ (۳۸-۳) طیف ¹ H-NMR شیف باز
	<i>N¹,N⁴-bis(4-(dimethylamino)benzylidene)benzene-1,4-diamine</i>
۷۱	جدول داده های ¹ H-NMR لیگاند شیف باز
۷۲	شکل ۶ (۳۹-۳) طیف ¹³ C-NMR شیف باز
	<i>N¹,N⁴-bis(4-(dimethylamino)benzylidene)benzene-1,4-diamine</i>
۷۲	جدول داده های ¹³ C-NMR لیگاند شیف باز
۷۳	شکل ۷ (۴۰-۳) طیف UV-Visible شیف باز
	<i>N¹,N⁴-bis(4-(dimethylamino)benzylidene)benzene-1,4-diamine</i>
۷۳	جدول داده های UV-Visible لیگاند شیف باز
۷۵	شکل ۸ (۴۱-۳) طیف FT-IR لیگاند شیف باز
۷۵	جدول ۳ (۲۸-۳) ارتعاشات مهم لیگاند شیف باز
۷۶	شکل ۹ (۴۲-۳) طیف ¹ H-NMR لیگاند شیف باز:
	<i>N¹-((2-chloroquinolin-3-yl)methylene)benzene-1,4-diamine</i>
۷۶	جدول داده های ¹ H-NMR لیگاند شیف باز
۷۷	شکل ۱۰ (۴۳-۳) طیف ¹³ C-NMR لیگاند شیف باز
	<i>N¹-((2-chloroquinolin-3-yl)methylene)benzene-1,4-diamine</i>
۷۷	شکل ۱۱ (۴۴-۳) طیف ¹³ C-NMR لیگاند شیف باز بازیار Mestrec
	<i>N¹-((2-chloroquinolin-3-yl)methylene)benzene-1,4-diamine</i>
۷۸	جدول داده های ¹³ C-NMR لیگاند شیف باز
۷۸	شکل ۱۲ (۴۵-۳) طیف UV-Visible لیگاند شیف باز
	<i>N¹-((2-chloroquinolin-3-yl)methylene)benzene-1,4-diamine</i>
۷۸	جدول داده های UV-Visible لیگاند شیف باز
۸۱	شکل ۱۳ (۴۶-۳) طیف FT-IR لیگاند شیف باز
	<i>3-(4-(dimethylamino)benzylideneamino)phenol</i>
۸۱	جدول ۴ (۳۲-۳) ارتعاشات مهم لیگاند شیف باز
۸۲	شکل ۱۴ (۴۷-۳) طیف ¹ H-NMR لیگاند شیف باز در حلال DMSO-d ₆
۸۲	شکل ۱۵ (۴۸-۳) طیف ¹ H-NMR لیگاند شیف باز: (حذف عامل OH) در حلال کلروفرم و اضافه کردن D ₂ O
۸۳	شکل ۱۶ (۴۹-۳) طیف ¹³ C-NMR لیگاند شیف باز
	<i>3-(4-(dimethylamino)benzylideneamino)phenol</i>
۸۳	جدول داده های ¹³ C-NMR لیگاند شیف باز
۸۵	شکل ۱۷ (۵۰-۳) طیف FT-IR کمپلکس شیف باز کبالت (II) نیترات

٨٦	شکل ۳ (۵۱-۲) طیف FT-IR کمپلکس شیف باز کبالت (II) نیترات مقایسه شده با طیف لیگاند شیف باز
٨٦	جدول ۳ (۳۴-۳) ارتعاشات مهم کمپلکس شیف باز کبالت (II) نیترات
٨٧	شکل ۳ (۵۲-۳) طیف UV-Visible کمپلکس شیف باز کبالت (II) نیترات
٨٧	شکل ۳ (۵۳-۳) مقایسه طیف های UV-Visible نمک، کمپلکس و لیگاندشیف باز با یکدیگر
٨٧	جدول ۳ (۳۵-۳) جدول داده های UV-Visible کمپلکس شیف باز کبالت (II) نیترات
٨٩	شکل ۳ (۵۴-۳) طیف FT-IR کمپلکس شیف باز نیکل (II) نیترات
٨٩	شکل ۳ (۵۵-۳) طیف FT-IR کمپلکس شیف باز نیکل (II) نیترات مقایسه شده با طیف دی آمینو بی تیازول.
٩٠	جدول ۳ (۳۶-۳) ارتعاشات مهم کمپلکس شیف بازنیکل (II) نیترات
٩٠	شکل ۳ (۵۶-۳) طیف UV-Visible کمپلکس شیف بازنیکل (II) نیترات
٩٠	شکل ۳ (۵۷-۳) مقایسه طیف های UV-Visible نمک، کمپلکس و لیگاندشیف باز با یکدیگر
٩١	جدول ۳ (۳۷-۳) جدول داده های UV-Visible کمپلکس شیف بازنیکل (II) نیترات
٩٥	جدول ۳ (۳۸-۳) جدول خواص فیزیکی کمپلکس های سنتز شده

فصل اول : مقدمه و پیشینه کار

۱) مقدمه

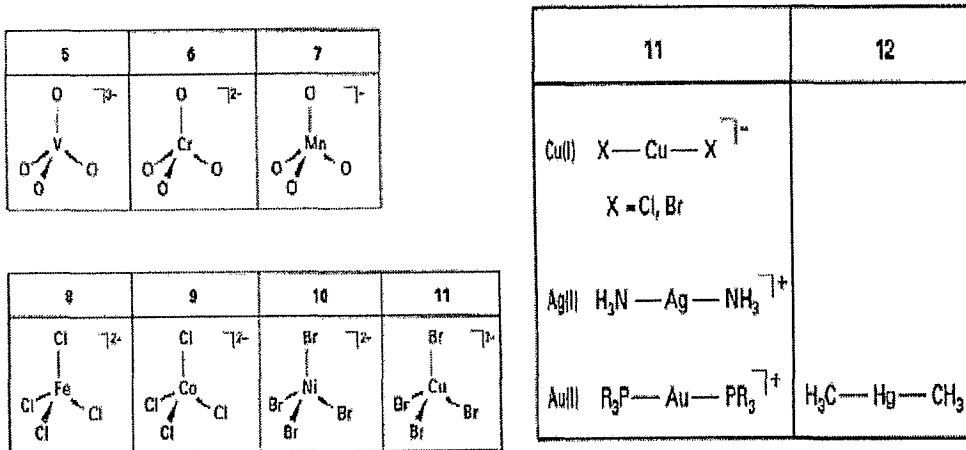
ترکیبات کثوردیناسیون، ترکیباتی حاوی یک اتم یا یک یون مرکزی هستند که در آنها معمولاً یک فلز به وسیله تعدادی از یون‌ها یا ملکول‌ها احاطه شده است شیمی کثوردیناسیون که نوع ترکیب‌ها و ساختار کمپلکس‌ها را بحث و بررسی می‌کند، در سال ۱۸۹۳ توسط آلفرد ورنر تحت عنوان "ترکیب‌های کمپلکس" پایه گذاری شد مشکل بتوان زمان کشف اولین کمپلکس فلز را دقیقاً مشخص کرد. شاید اولین کمپلکس ثبت شده، آبی پروس،^۲ $\text{Fe}(\text{CN})_6$ باشد که در ابتدای قرن هیجدهم توسط دیسباخ^۱ که در برلین برای کارهای هنری رنگ می‌ساخت، به دست آمد. به هر حال تاریخی که معمولاً برای کشف هگزامین کبالت (III) کلرید $\text{CoCl}_3 \cdot 6\text{NH}_3$ توسط تاسرت (۱۷۸۹) گفته شده، آغاز واقعی شیمی کثوردیناسیون را نشان می‌دهد، زیرا وجود ترکیبی با خواص منحصر بفرد $\text{CoCl}_3 \cdot 6\text{NH}_3$ علاوه و توجه زیادی به این سیستم و تحقیق روی سیستم‌های مشابه آن را برانگیخت. اگرچه کشف تاسرت^۲ اتفاقی بود، اما بی‌شك تشخیص او بر اینکه در اینجا چیزی جدید و متفاوت وجود دارد اتفاقی نبود و نمودی از توانایی پژوهشی شگرف‌وی بود. مشاهدات تجربی تاسرت بر اساس تئوری شیمیابی موجود در آن زمان قابل توضیح نبود. درک این موضوع مستلزم حل این مسئله بود که CoCl_3 و NH_3 که هردو ترکیباتی پایدار و احتمالاً با والانس اشباع هستند، چگونه می‌توانند با هم ترکیب شوند و در عین حال ترکیب بسیار پایدار دیگری هم به وجود آورند. این مسئله معماًی برای شیمیدانان و محركی برای تحقیقات بیشتر بود، اما جواب این معما تا حدود ۱۰۰ سال بعد پیدا نشد. در خلال این مدت تعداد زیادی از این نوع ترکیبات تهیه و خواص آنها مورد مطالعه قرار گرفت [۱]. در کمپلکس‌ها میتوان لیگاندها را به عنوان باز لویس و یون فلزی را به عنوان اسید لویس در نظر گرفت. در مطالعه کمپلکس‌های فلزات واسطه دانستن موارد زیر مهم می‌باشد: ۱- حالت‌های اکسایش قلزات واسطه ۲- ژئومتری کمپلکس‌ها ۳- لیگاندهای بدکار برده شده در کمپلکس‌ها ۴- ایزومریزاسیون در کمپلکس‌ها ۵- بار کمپلکس‌ها.

¹ Disbakh

² Taserte

عدد کثوردیناسیون و ژئومتری کمپلکس‌های فلزات واسطه ترکیبی از: ۱- اندازه یون فلزی ۲- اندازه لیگاند ۳- عوامل الکترونی (مثل آرایش الکترونی و نوع لیگاند) است. کمپلکس‌ها بر اساس عدد کثوردیناسیون به چند دسته مهم تقسیم می‌شوند که تعدادی از آن‌ها عبارتنداز:

- ۱- کمپلکس‌های خطی: این کمپلکس‌های دو کثوردینه‌اند و بطور اختصاصی در یون‌های فلزی d^{10} مثل Cu^{+2} و Ag^{+} و Hg^{2+} دیده می‌شوند فلزات d^{10} نمی‌توانند کثوردیناسیون‌های بالاتر را تحمل کنند.
- ۲- کمپلکس‌های چهار کثوردینه که می‌توانند ژئومتری چهار وجهی (تراهدرال) و یا مربع مسطوح داشته باشند. برای تشکیل کمپلکس‌های با ژئومتری مربع مسطح دلایل الکترونی و برای کمپلکس‌های با ژئومتری تراهدرال دلایل فضایی (مثل وجود یون فلزی کوچک و یا وجود لیگاند-های بزرگ) وجود دارد.
- ۳- کمپلکس‌های پنج کثوردینه که دارای دوساختار دو هرمی مثلثی منتظم 3 و هرم با قاعده‌ی مربع منتظم 4 هستند.
- ۴- کمپلکس‌های شش کثوردینه که اغلب ژئومتری اکتاہدرال دارند اما انحراف از حالت اکتاہدرال به کثوردیناسیون منشور مثلثی 0 در کمپلکس‌هایی دیده می‌شود که لیگاند نسبت به فلز مرکزی کوچک باشد (مثل MoS_2) و یا لیگاند‌هایی که دارای یک زاویه انحراف کوچک باشند. [۲]



شکل ۱-۲) نمونه‌هایی از کمپلکس‌های خطی گروه ۱۱ و ۱۲ عناصر واسطه

شکل ۱-۱) نمونه‌هایی از کمپلکس‌های مختلف عناصر واسطه

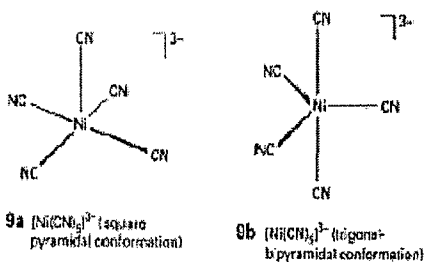
^rTBP(trigonal bipyramidal conformation)

^sSquare pyramidal conformation

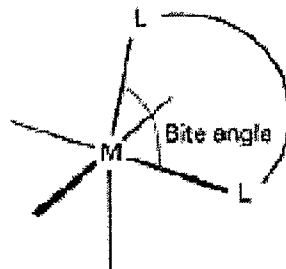
^otrigonal prismatic

9	10	11
<p>Rh(I)</p> <p>Ir(I)</p>	<p>Ni(II)</p> <p>Pd(II)</p> <p>Pt(II)</p>	<p>Au(III)</p>

شکل ۱-۳) نمونه هایی از کمپلکس های مریخ مسطح گروه های ۹ و ۱۰ و ۱۱ عناصر واسطه



شکل ۱-۵) دو ساختار مهم کمپلکس های پنج کنوردینه



شکل ۱-۶) انحراف در کمپلکس های هشت و جهی

۱-۱) شیف بازها :

ترکیباتی با ساختار AC=NB را شیف باز می گویند معمولاً شیف بازها از تراکم آمین های نوع اول با گروه های فعال کربونیلی ساخته می شوند. شیف بازها به عنوان دسته مهندی از ترکیبات آلی محسوب می شوند؛ که کاربرد وسیعی در بیولوژی و صنعت و کشاورزی دارند. وجود این کاربرد وسیع شیف بازها، سنتز کمپلکس های آن را پراهمیت ساخته است. کمپلکس های فلزات واسطه شیف باز ها یکی از موضوعاتی است که مطالعات زیادی به خود اختصاص داده است. چراکه این کمپلکس ها در زمینه های تجزیه ای و پزشکی و صنعتی کاربرد فراوانی دارند. واکنش شیف باز های سنتز شده با هسته های فلزی مختلف منجر به تشکیل کمپلکس های شیف باز می گردد. از تکنیک های FT-IR , UV/Vis , ^13C-NMR , ^1H-NMR , آنالیز عنصری، اسپکتروسکوپی برای بررسی و شناسایی ترکیبات سنتز شده، استفاده شده است.

۲-۱) تاریخچه و کشف:

از واکنش تراکمی آلدهید یا کتون با آمین نوع اول، ایمین ها ساخته می شوند؛ این واکنش با آزاد شدن یک ملکول آب همراه است (معادله ۱-۱). اگر آمین به کار رفته برای این واکنش، آمونیاک باشد ($R^3=H$)، در این صورت ایمین به دست آمده ناپایدار است. در حالی که هرگاه آمین به کار رفته برای این واکنش، یک آمین آروماتیک باشد، در این حالت محصول ایمینی بسیار پایدار و قابل جداسازی است. ترکیبات کربونیل نیز نسبت به آمین ها واکنش پذیری متفاوتی از خود نشان می دهند؛ بعضی از آنها سریعاً وارد واکنش می شوند و تولید ترکیبات پایدار می کنند و تعادل را به سمت رفت (محصولات) جابه جا می کنند؛ برخی دیگر واکنش شان کند بوده و برای پیش برد واکنش باید آب را از محیط عمل خارج کرد؛ تا تعادل به سمت رفت (تولید محصولات) جابه جا گردد. [۳]



$R^1, R^2, R^3 = H, \text{alkyl or aryl}$

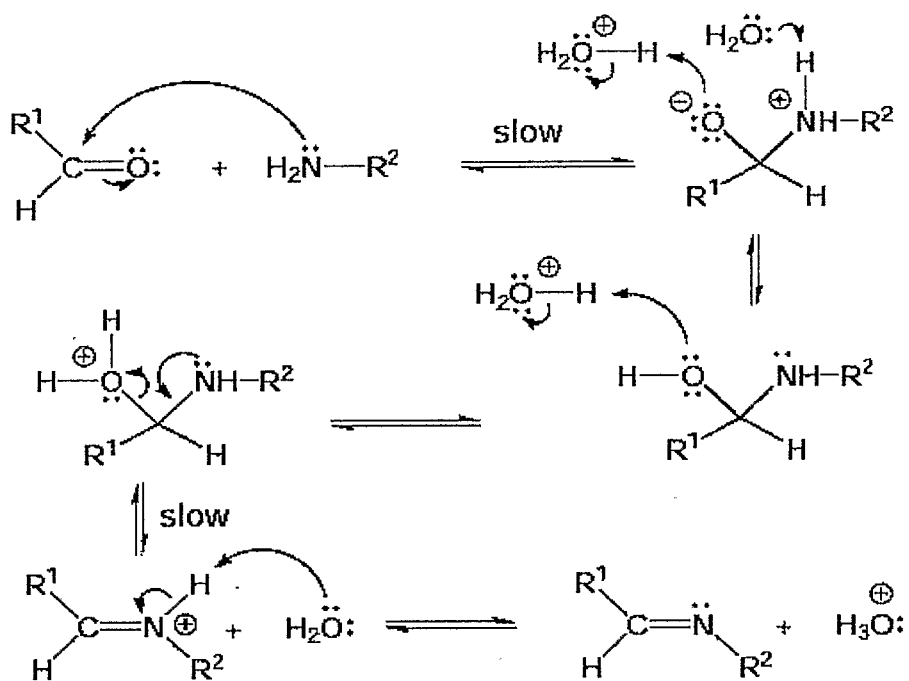
معادله ۱-۱ واکنش تراکمی گروه کربونیل با آمین نوع اول

این نوع ترکیبات که دارای گروه آزو متین ($RC=N-$) در ساختار خود هستند، شیف باز نامیده می شوند. اتم نیتروژن در ساختار شیف بازها دارای یک جفت الکترون غیر پیوندی است؛ و می تواند به عنوان یک باز لوئیس عمل کند؛ و با یون های فلزات واسطه تشکیل کمپلکس دهد. ترکیب شیف باز برای اولین بار در سال ۱۸۴۰ از واکنش استات مس (II) با سالیسیل آلدهید و آمین، توسط Etling، سترز شد. محصول این واکنش ترکیب جامد سبز تیره ای بود که بنام بیس (سالیسیل آلدیمین) مس (II) نامگذاری شد. در سال ۱۸۶۹ Schiff، مشتقات آریل و فنیل این ترکیب را، ستر کرد؛ او ثابت کرد که نسبت استوکیومتری فلز به لیگاند ۲:۱ است؛ در این کار، شیف روش ستری مهم تهیه کمپلکس های فلزی سالیسیل آلدهید با آمین های نوع اول را، کشف کرد و به همین ترتیب کمپلکس های دیگری از تراکم اوره با سالیسیل آلدهید، بدست آورد. در سال ۱۸۹۹ Delepine کمپلکس های دیگری از همین نوع را با (بنزیل و متیل= R) در حلal الکل تهیه و استوکیومتری فلز به لیگاند (نسبت استوکیومتری فلز به لیگاند) را در ساختار آنها، بدست آورد. بعد از یک دوره نسبتاً غیر فعال، تهیه کمپلکس های شیف باز توسط Pfeiffer و همکارانش در سال ۱۹۳۱، مجدداً آغاز شد. در همین سال Dubsky و Sokol کمپلکس های $[N\text{-}N]$ بیس (سالیسیلیدن)

اتیلن دی آمینو] مس (II) و نیکل (II) را تهیه، جداسازی و شناسایی کردند. از سال ۱۹۳۱ تا ۱۹۴۲، Pfeiffer و همکارانش در یک سری مطالعات کلاسیک، انواع مختلفی از کمپلکس‌های شیف باز سالیسیل آلدید و مشتقات آن را، تهیه و شناسایی کردند.^[۴] در دو دهه اخیر انواع زیادی از شیف بازهای مشتق شده از سالیسیل آلدید، سترز و مورد مطالعه قرار گرفته‌اند تأثیر استخلافهای الکترون دهنده و الکترون کشنده و فعالیت شیمیایی سالیسیل آلدید هنگام تشکیل شیف باز، و همچنین تأثیر آن بر رفتار الکترونی فلز مرکزی کمپلکس، از جمله مواردی است که در مطالعات بر آنها تأکید شده است.^[۵] با وجود آنکه از کشف و سترز شیف بازها بیش از یک قرن می‌گذرد؛ ولی بررسی منابع بیانگر این واقعیت است که تحقیقات در زمینه سترز شیف بازهای جدید از نوع متقارن و نامتقارن و نیز بررسی خواص آنها از اوایل دهه هفتاد تاکنون از شدت بیشتری برخوردار بوده است. شیف بازها به طور وسیعی در شیمی کوئوردیناسیون به کار گرفته می‌شوند؛ چرا که سترز آنها فوق العاده سریع و راحت صورت می‌گیرد و خصوصیات فضایی والکترونی آنها قابل کنترل و تنظیم است واژطرف دیگر این لیگاند‌ها در حاللهای متداول آلی، انحلال پذیرند یکی دیگر از دلایل کاربرد وسیع این ترکیبات در شیمی کوئوردیناسیون، این است که لیگاند‌های شیف باز در حالت جامد، خصوصیات فروتوکرومیسم و ترمومکرومیسم از خود نشان می‌دهند از طرف دیگر، کمپلکس‌های شیف بازها، کاربردهای بیولوژیکی گسترده‌ای دارند که از میان آنها میتوان به کاربردانها در درمان سرطان، به عنوان آنتی باکتری، به عنوان آنتی ویروس و به عنوان آنتی قارچ، اشاره کرد.

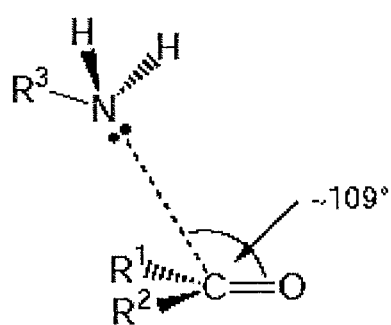
۱-۳) سترز شیف بازها :

واکنش بین ترکیب کربونیلی و آمین، معمولاً با رفلaks آنها در یک حلال مطلق (مانند اتانول) صورت می‌گیرد. آب حاصل از واکنش ممکن است باعث هیدرولیز شیف باز شود که این امر محدودیت زیادی ایجاد می‌کند؛ که در صورتی که شیف باز تشکیل شده اندکی ناپایدار باشد، بایستی آب حاصل از واکنش خارج گردد تا بتوان تعادل را به سمت رفت جا به جا کرد.^[۳] برای تعدادی از واکنش‌ها، جهت گیری واکنش گرها نسبت به هم بسیار مهم است؛ تعدادی از این واکنش‌ها عبارتند است: واکنش افزایشی و SN_2 . در سایر موارد جهت گیری واکنش گرها، اهمیت چندانی ندارد؛ مانند: واکنش رادیکالی و SN_1 . مکانیسم تشکیل اینمیں در زیر آمده است (شکل ۱-۶).



شکل ۱-۶ مکانیسم تشکیل ایمین [۳]

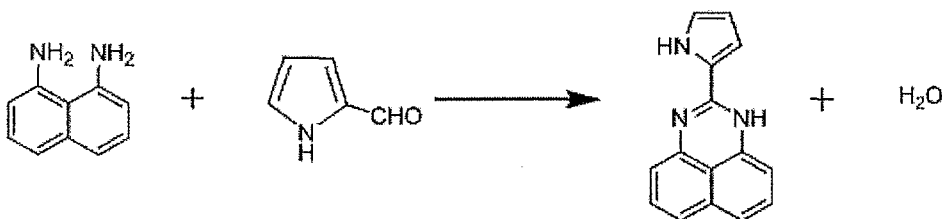
باید توجه داشت که در واکنش بین یک نوکلئوفیل و گروه کربونیل، هیبریداسیون اتم کربن از SP^3 به SP^2 تغییر می‌یابد؛ و این بدان معنی است که حمله نوکلئوفیل در زاویه تقریباً 109° (زاویه تراهدرالی) نسبت به گروه کربونیل، صورت می‌گیرد (شکل ۱-۷).



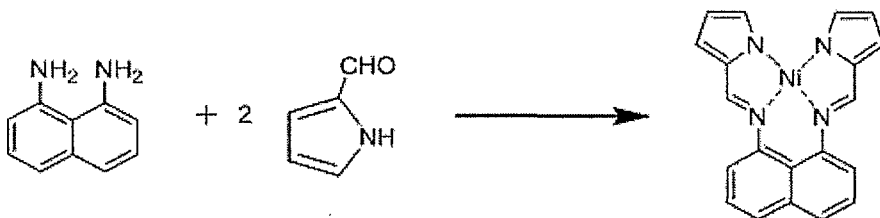
شکل ۱-۷ حمله نوکلئوفیل به گروه کربونیل [۳]

۱-۴) کاربردها و روش عمومی ستز کمپلکس‌های شیف باز:

دو روش عمومی، برای ساخت کمپلکس‌های شیف باز، استفاده می‌شوند. در روش اول، در ابتدا سیستم لیگاند ساخته و جداسازی می‌گردد؛ و سپس با یک فلز واکنش داده و کمپلکس تشکیل می‌شود. در روش دوم لیگاند جداسازی نشده؛ و واکنشهای تراکم و کمپکس‌سازی در یک فرآیند ستزی توازن انجام می‌شوند. در حقیقت، لیگاندهایی وجود دارند که تنها در حضور یک یون فلزی تشکیل می‌شوند. در برخی از واکنشهای نوع اخیر، پنداشته می‌شود که یون فلز پیش از انجام واکنش تراکمی، با یک یا دو پیش‌ماده تشکیل کمپلکس می‌دهد؛ در نتیجه، یون فلزمی تواند به عنوان جهت دهنده واکنش دهنده‌ها، عمل کرده و محصول واکنش را تعیین کند. مثالی از چنین واکنشی، در واکنش بین ۱،۸-دی‌آمینو نفتالن و پیروول-۲-آلدهید دیده می‌شود. در حالت عادی محصول واکنش آمین و آلدهید مذکور، یک هتروسیکل است (معادله ۱-۲)؛ در حالی که در حضور یونهای نیکل (II)، محصول دیگری به عنوان کمپلکس نیکل به دست می‌آید (معادله ۳-۳).



معادله ۱-۲ محصول واکنش تراکمی بین آمین و پیروول در غیاب نمک نیکل



معادله ۳-۳ محصول واکنش تراکمی بین آمین و پیروول در حضور نمک نیکل

۱-۴-۱) کاربرد شیف بازها به عنوان کاتالیست:

اپوکسیداسیون کاتالیزوری اولینین‌ها، موضوع جالب توجه و مورد توجه شیمی دان هاست. اپوکسیداسیون کاتالیزوری پیوند دوگانه کربن-کربن، اهمیت زیادی در شیمی آلی دارد؛ که این امر به دلیل کاربردهای گسترده واکنشهای فضاگزین، حلقه گشایی و دیگر واکنش‌های مهم اپوکسید‌ها، در ستزمحصولات پر کاربرد می‌باشد.